

Starkniederschlagshöhen und -spenden gemäß KOSTRA-DWD-2010R

Auswertungszeitraum von 1951 - 2010, Januar - Dezember

Rasterfeld: 9043

Zeile: 9

Spalte: 43

Seite: 1/2

| Dauerstufe D | Wiederkehrzeit T | | | | | | | | | | | | | | | | | | |
|--------------|------------------|------|------------|------|------------|------|------------|------|------------|------|------------|------|------------|------|------------|------|------------|------|------------|
| | 1 a | | 2 a | | 3 a | | 5 a | | 10 a | | 20 a | | 30 a | | 50 a | | 100 a | | |
| min | Std | mm | l / (s ha) | mm | l / (s ha) | mm | l / (s ha) | mm | l / (s ha) | mm | l / (s ha) | mm | l / (s ha) | mm | l / (s ha) | mm | l / (s ha) | mm | l / (s ha) |
| 5 | | 4,2 | 140,0 | 5,6 | 186,7 | 6,5 | 216,7 | 7,5 | 250,0 | 8,9 | 296,7 | 10,3 | 343,3 | 11,1 | 370,0 | 12,2 | 406,7 | 13,6 | 453,3 |
| 10 | | 6,8 | 113,3 | 8,6 | 143,3 | 9,7 | 161,7 | 11,1 | 185,0 | 12,9 | 215,0 | 14,8 | 246,7 | 15,9 | 265,0 | 17,2 | 286,7 | 19,1 | 318,3 |
| 15 | | 8,5 | 94,4 | 10,7 | 118,9 | 11,9 | 132,2 | 13,5 | 150,0 | 15,7 | 174,4 | 17,9 | 198,9 | 19,1 | 212,2 | 20,7 | 230,0 | 22,9 | 254,4 |
| 20 | | 9,7 | 80,8 | 12,1 | 100,8 | 13,6 | 113,3 | 15,4 | 128,3 | 17,8 | 148,3 | 20,2 | 168,3 | 21,6 | 180,0 | 23,4 | 195,0 | 25,9 | 215,8 |
| 30 | | 11,3 | 62,8 | 14,2 | 78,9 | 15,9 | 88,3 | 18,0 | 100,0 | 20,8 | 115,6 | 23,7 | 131,7 | 25,3 | 140,6 | 27,5 | 152,8 | 30,3 | 168,3 |
| 45 | | 12,8 | 47,4 | 16,1 | 59,6 | 18,1 | 67,0 | 20,5 | 75,9 | 23,9 | 88,5 | 27,3 | 101,1 | 29,2 | 108,1 | 31,7 | 117,4 | 35,0 | 129,6 |
| 60 | | 13,6 | 37,8 | 17,4 | 48,3 | 19,6 | 54,4 | 22,3 | 61,9 | 26,1 | 72,5 | 29,9 | 83,1 | 32,1 | 89,2 | 34,8 | 96,7 | 38,6 | 107,2 |
| 90 | | 15,0 | 27,8 | 19,0 | 35,2 | 21,4 | 39,6 | 24,4 | 45,2 | 28,5 | 52,8 | 32,5 | 60,2 | 34,9 | 64,6 | 37,9 | 70,2 | 42,0 | 77,8 |
| 120 | 2 | 16,0 | 22,2 | 20,3 | 28,2 | 22,8 | 31,7 | 26,0 | 36,1 | 30,3 | 42,1 | 34,6 | 48,1 | 37,1 | 51,5 | 40,3 | 56,0 | 44,5 | 61,8 |
| 180 | 3 | 17,6 | 16,3 | 22,2 | 20,6 | 24,9 | 23,1 | 28,4 | 26,3 | 33,0 | 30,6 | 37,7 | 34,9 | 40,4 | 37,4 | 43,8 | 40,6 | 48,5 | 44,9 |
| 240 | 4 | 18,8 | 13,1 | 23,7 | 16,5 | 26,6 | 18,5 | 30,2 | 21,0 | 35,1 | 24,4 | 40,0 | 27,8 | 42,9 | 29,8 | 46,5 | 32,3 | 51,4 | 35,7 |
| 360 | 6 | 20,7 | 9,6 | 26,0 | 12,0 | 29,1 | 13,5 | 33,0 | 15,3 | 38,3 | 17,7 | 43,6 | 20,2 | 46,7 | 21,6 | 50,6 | 23,4 | 55,9 | 25,9 |
| 540 | 9 | 22,7 | 7,0 | 28,5 | 8,8 | 31,8 | 9,8 | 36,1 | 11,1 | 41,8 | 12,9 | 47,5 | 14,7 | 50,9 | 15,7 | 55,1 | 17,0 | 60,8 | 18,8 |
| 720 | 12 | 24,3 | 5,6 | 30,4 | 7,0 | 33,9 | 7,8 | 38,4 | 8,9 | 44,5 | 10,3 | 50,5 | 11,7 | 54,1 | 12,5 | 58,5 | 13,5 | 64,6 | 15,0 |
| 1080 | 18 | 26,7 | 4,1 | 33,3 | 5,1 | 37,1 | 5,7 | 42,0 | 6,5 | 48,5 | 7,5 | 55,1 | 8,5 | 58,9 | 9,1 | 63,7 | 9,8 | 70,3 | 10,8 |
| 1440 | 24 | 28,6 | 3,3 | 35,5 | 4,1 | 39,6 | 4,6 | 44,7 | 5,2 | 51,6 | 6,0 | 58,5 | 6,8 | 62,6 | 7,2 | 67,7 | 7,8 | 74,6 | 8,6 |
| 2880 | 48 | 34,6 | 2,0 | 42,6 | 2,5 | 47,3 | 2,7 | 53,2 | 3,1 | 61,3 | 3,5 | 69,3 | 4,0 | 74,0 | 4,3 | 80,0 | 4,6 | 88,0 | 5,1 |
| 4320 | 72 | 38,6 | 1,5 | 47,3 | 1,8 | 52,4 | 2,0 | 58,8 | 2,3 | 67,5 | 2,6 | 76,2 | 2,9 | 81,3 | 3,1 | 87,7 | 3,4 | 96,4 | 3,7 |

Angaben in mm: Bemessungsniederschlagswerte h(n)

Angaben in l / (s ha): Regenspende R(n) mit $R(n) = h(n) \times 1,666667 / D[\text{min}]$

Toleranzbereiche:

+/- 10 % für $1 a \leq T \leq 5 a$

+/- 15 % für $5 a < T \leq 50 a$

+/- 20 % für $50 a < T \leq 100 a$

Datenbasis: KOSTRA-DWD-2010R des Deutschen Wetterdienstes. Die Regenspende wurde auf Basis des Bemessungsniederschlags zur jeweiligen Andauer berechnet.

Für die Richtigkeit und Aktualität der Angaben wird keine Gewähr übernommen. Erstellt 07/2022.

Starkniederschlagshöhen und -spenden gemäß KOSTRA-DWD-2010R

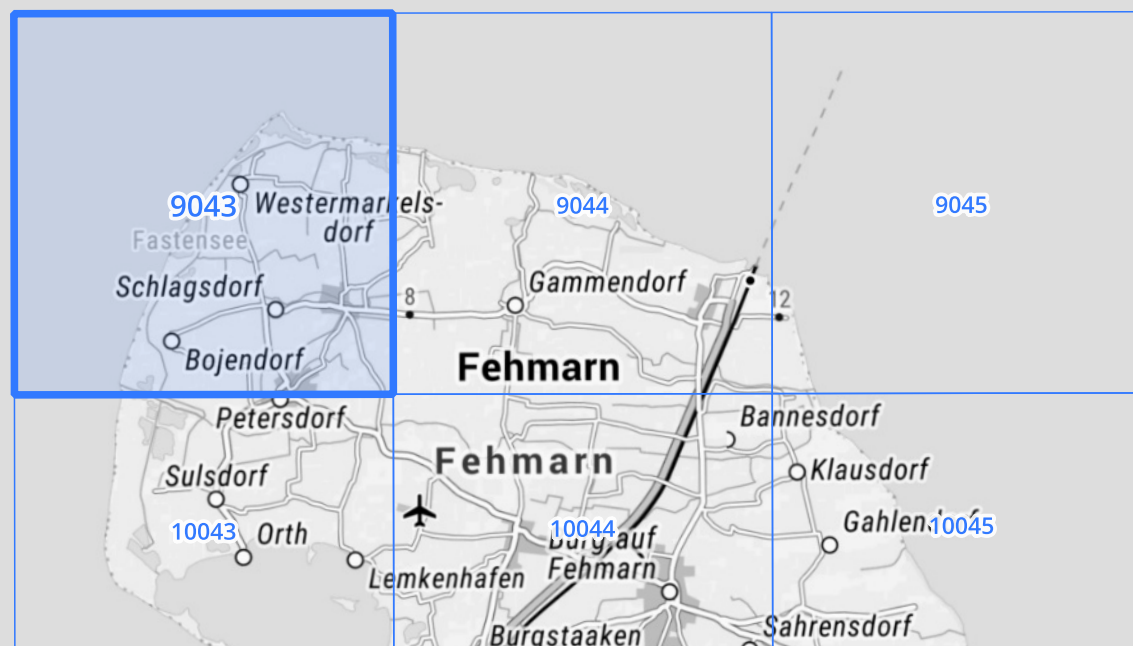
Auswertungszeitraum von 1951 - 2010, Januar - Dezember

Rasterfeld: 9043

Zeile: 9

Spalte: 43

Seite: 2/2



Quelle Rasterdaten: KOSTRA-DWD-2010R des Deutschen Wetterdienstes.

Kartendarstellung: © Bundesamt für Kartographie und Geodäsie (2022), Datenquellen: https://sgx.geodatenzentrum.de/web_public/gdz/datenquellen/Datenquellen_TopPlusOpen.html

Für die Richtigkeit und Aktualität der Angaben wird keine Gewähr übernommen. Erstellt 07/2022.